

УДК 577.32

КОМПЬЮТЕРНОЕ МОДЕЛИРОВАНИЕ КОМПЛЕКСООБРАЗОВАНИЯ ПРОИЗВОДНОЙ АКТИНОЦИНА И ДВУСПИРАЛЬНОЙ ПОЛИРИБОЦИТИДИЛОВОЙ КИСЛОТЫ

А.В. Шестопалова, Е.В. Мирошниченко

Інститут радіофізики і електроніки ім. А. Я. Усикова НАН України, ул. Ак. Проскури 12, 61085, Харків

e-mail: shestop@ire.kharkov.ua

Поступила в редакцию 8 июня 2005 г.

На основании анализа результатов молекулярного докинга и известных экспериментальных данных по изучению комплексообразования производной актиноцина (ActIII) и двусpirальной полиривоцитидиловой кислоты (poly^rC) получены пять наиболее вероятных комплексов ActIII - poly^rC, в которых рассчитанные энергии взаимодействия мишень-лиганд минимальны и комплексы стабилизируются межмолекулярными водородными связями между донорно-акцепторными группами ActIII и poly^rC. В образовании водородных связей со стороны poly^rC участвуют группы цитозина и/или атомы кислорода сахарофосфатного острова, а со стороны ActIII - NH₂, C=O, NH-группы феноксазонового хромофора и боковых аминоалкильных радикалов. С помощью метода Монте Карло определено влияние растворителя – молекул воды на структуру комплексов, полученных молекулярным докингом. Моделирование выполнено с учетом 800 молекул воды. Показано, что молекулы воды могут дополнительно стабилизировать комплексы полинуклеотидной мишени и лиганда, занимая мостиковые положения между их донорно-акцепторными группами. На основе анализа результатов моделирования и эксперимента один из комплексов ActIII – poly^rC выбран как наиболее вероятный.

КЛЮЧЕВЫЕ СЛОВА: молекулярный докинг, метод Монте Карло, двусpirальная полиривоцитидиловая кислота, производная актиноцина.

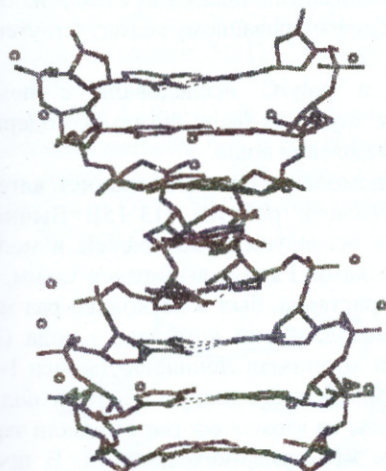
Исследования молекулярных механизмов взаимодействий мишень-лиганд необходимы для понимания фармакологической активности многих лекарственных препаратов. Эффективность действия лекарства на молекулярном уровне, или специфичность его взаимодействия с мишенью – молекулой биополимера, оценивается по геометрической комплементарности их взаимодействующих частей и по наличию сил взаимодействия (электростатических, ван-дер-ваальсовых, гидрофобных), позволяющих определить энергетическую предпочтительность моделируемых систем. Мишенями для многих ароматических биологически активных веществ, к которым относятся противоопухолевые антибиотики, являются молекулы ДНК и РНК. Удобными моделями ДНК при изучении взаимодействия ДНК-антибиотик могут быть двусpirальные полинуклеотиды, в частности, двусpirальная полупротонированная полиривоцитидиловая кислота poly^rC.

Выполненные в нашей лаборатории экспериментальные исследования комплексообразования двусpirальной poly^rC с производной актиноцина ActIII показали, что феноксазоновое кольцо лиганда не встраивается между плоскостями соседних пар оснований этого полинуклеотида [1,2]. Комплекс двусpirальной poly^rC с ActIII, возможно, образуется по типу внешнего связывания и стабилизируется несколькими межмолекулярными ВС. На основе анализа экспериментальных результатов были сделаны предположения о том, какие атомные группы мишени (poly^rC) и лиганда (ActIII) участвуют в образовании таких ВС. Методы компьютерного моделирования могут дополнить возможности экспериментальных исследований и предложить наиболее вероятные молекулярные модели комплексов. Целью выполненных исследований было получение таких моделей для комплексов двусpirальной полиривоцитидиловой кислоты poly^rC с аналогом противоопухолевого антибиотика актиномицина D – производной актиноцина ActII методами молекулярного докинга и Монте Карло.

ОБ'ЄКТЫ И МЕТОДЫ ИССЛЕДОВАНИЯ

Согласно литературным данным [3-5] полиривоцитидиловая кислота poly^rC при pH 4.5 образует двойную спираль с параллельными цепями и наполовину протонированными парами CH⁺ - C. Нами была построена модель двусpirальной poly^rC с использованием следующих рентгенструктурных данных [6]: расстояние между двумя соседними нуклеотидами вдоль оси спирали $\hbar = 3.11 \text{ \AA}$, угол спирального вращения $\tau = 30^\circ$. Заряды на атомах пары CH⁺ - C были рассчитаны с помощью полуэмпирического метода квантовой химии pm3 в программе HyperChem Professional 7.

Компьютерное моделирование комплексообразования производной ...



Структуру двойной спирали polyrC оптимизировали сначала в вакууме в рамках силового поля AMBER 96 [7] до значения градиента, не превышающего 1 ккал/(моль· \AA). После этого добавляли противоионы (K^+) и помещали фрагмент polyrC (8 пар $\text{CH}^+ - \text{C}$) в ячейку, содержащую до 1140 молекул воды (модель ТРЗР [8]). Далее проводилась оптимизация растворителя с последующей оптимизацией всей системы до значения градиента, не превышающего 1 ккал/(моль· \AA). При оптимизации использовали метод наискорейшего спуска. На рис.1 приведена оптимизированная структура двусpirальной polyrC.

Рис.1 Оптимизированная структура двусpirальной polyrC.

Координаты и заряды на атомах производной актиноцина ActIII (заряд +2) рассчитывали с помощью полуземпирического метода квантовой химии pm3 в программе HyperChem Professional 7. После этого, как и в случае с polyrC, проводили оптимизацию геометрии ActIII в вакууме и в воде до значения градиента, не превышающего 0.1 ккал/(моль· \AA). Оптимизированная структура производной актиноцина ActIII приведена на рис.2б.

В полученных структурах водородные связи (ВС) определяли по геометрическому критерию: расстояние между атомом водорода и акцептором ВС не более 2,7 \AA , угол между акцептором ВС, атомом водорода и донором ВС больше 120°.

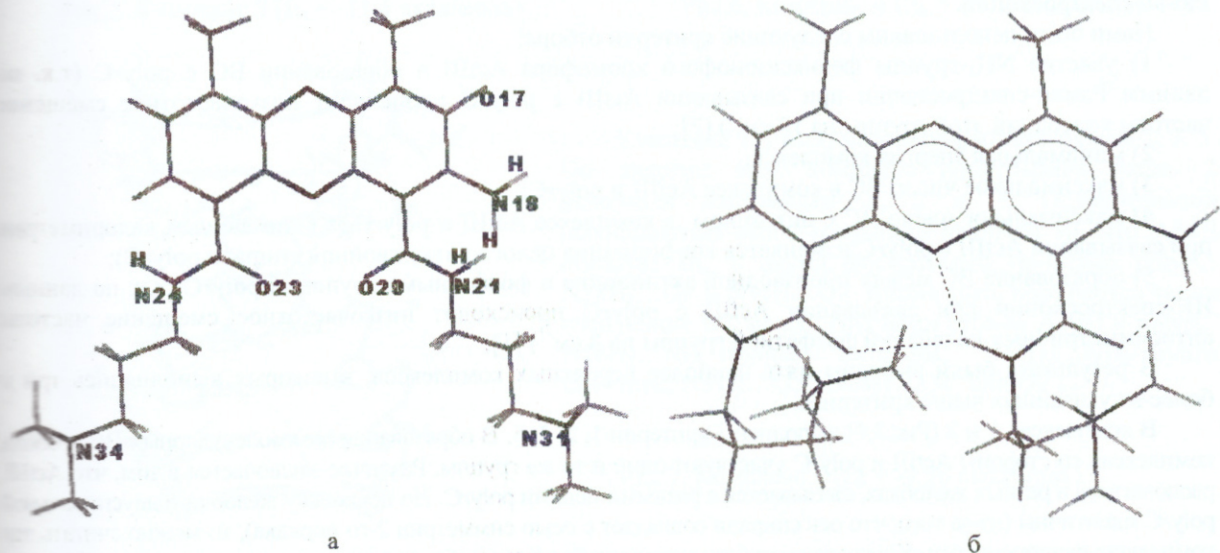


Рис.2. Структура производной актиноцина ActIII. Показаны атомы, которые участвуют в образовании межмолекулярных ВС с polyrC.

Оптимизированная структура производной актиноцина ActIII. Внутримолекулярные ВС показаны пунктиром.

Методом молекулярного докинга с помощью программного пакета AutoDock 3.05 [9] были получены возможные комплексы двусpirальной полиривоцитидиловой кислоты polyrC и производной актиноцина ActIII. При моделировании использовался генетический алгоритм Ламарка с такими параметрами: размер популяции – 100 особей, максимальное число оценок энергии 10 000 000, максимальное число поколений 27000. Энергию взаимодействия polyrC и ActIII в комплексе (E_b) рассчитывали как сумму энергий ван-дер-ваальсовых взаимодействий, водородных связей, электростатических взаимодействий, энергии торсионного вращения и энергии дегидратации лиганда. Энергию ван-дер-ваальсовых взаимодействий вычисляли с помощью потенциала Леннард-Джонса, а энергию водородных связей – с помощью потенциала 10-12. При расчете электростатических взаимодействий использовали зависящую от расстояния диэлектрическую функцию Мелера и Сольмайера для моделирования экранирования растворителя [10]. Проигрыш в энтропии из-за потери торсионных степеней свободы лигандом при его связывании с мишенью учитывали с помощью энергии торсионного вращения. Это слагаемое было

А.В. Шестопалова, Е.В. Мирошниченко

пропорционально числу свободных торсионных углов лиганда, образованных тяжелыми атомами. Энергия дегидратации вычислялась только для атомов углерода лиганда по модифицированному методу Стоутена [11]. Конформация мишени – poly^rC – не изменялась.

Влияние растворителя на комплексообразование ActIII и poly^rC исследовали с помощью компьютерного моделирования методом Монте Карло. Объектом изучения были системы, содержащие полученные в результате молекулярного докинга комплексы и 800 молекул воды.

Применение метода Монте Карло для изучения гидратации биомолекул с использованием алгоритма Метрополиса [12] и процедура моделирования подробно описана в работах [13-15]. Вычисления проводились в NVT ансамбле при температуре 298К. В расчетах исследуемые комплексы и молекулы воды помещались в центр сферы с жесткими отражательными стенками. Радиус выбирался таким, чтобы объем сферы, необходимый для создания нормальной плотности раствора, был в несколько раз меньше используемого. Для вычисления энергии межмолекулярных взаимодействий комплекс – вода (E_{W_rC} и $E_{W_{Act}}$) и poly^rC - ActIII (E_{Act-rC}) использовался модифицированный потенциал Леннарда-Джонса 1-6-12 с параметрами, полученными Полтевым и соавторами [16,17]. При расчетах взаимодействий вода-вода (E_{ww}) использован полуэмпирический потенциал 1-6-exp [18]. Заряды на атомах соответствовали зарядам, полученным для комплексов при выполнении расчетов методом молекулярного докинга. В процессе моделирования молекула ActIII смешалась относительно poly^rC согласно алгоритму Метрополиса. Конформация poly^rC при моделировании не изменялась.

РЕЗУЛЬТАТЫ И ОБСУЖДЕНИЕ

Результатом моделирования методом молекулярного докинга является набор структур комплексов, которые оцениваются по энергетическим и стерическим параметрам, определяющим максимальное соответствие места посадки на молекуле – мишени и структуры лиганда.

При выборе наиболее вероятных структур комплексов учитывались данные, полученные при исследовании комплексообразования ActIII с двусpirальной poly^rC методами спектрофотометрии и Рaman спектроскопии.

Нами были использованы следующие критерии отбора:

- 1) участие NH₂-группы феноксазонофого хромофора ActIII в образовании ВС с poly^rC (т.к. по данным Раман-спектроскопии при связывании ActIII с poly^rC происходит низкочастотное смещение частоты колебаний этой группы на 18 cm⁻¹) [2];
- 2) минимальная энергия комплекса;
- 3) максимальное число ВС в комплексе ActIII и poly^rC;
- 4) максимальное число ВС с цитозином в комплексе ActIII и poly^rC (т.к. по данным калориметрии при связывании ActIII с poly^rC изменяется конформация целого витка двойной спирали poly^rC);
- 5) образование ВС между производной актиноцина и фосфатными группами poly^rC (т.к. по данным ИК-спектроскопии при связывании ActIII с poly^rC происходит низкочастотное смещение частоты антисимметричных колебаний фосфатной группы на 8 cm⁻¹) [1];

В результате были выбраны пять наиболее вероятных комплексов, в которых выполнялись три и более из указанных выше критериев.

В комплексах 1 и 2 (Рис.3,4) выполнены критерии 1, 2, 3, 5. В образовании межмолекулярных ВС в обоих комплексах со стороны ActIII и poly^rC участвуют одни и те же группы. Различие заключается в том, что ActIII, располагаясь в разных желобках, связывается с разными цепями poly^rC. Но поскольку желобки в двусpirальной poly^rC идентичны (из-за того, что ось спирали совпадает с осью симметрии 2-го порядка), то можно считать эти комплексы равнозначными. Комплексы стабилизируются благодаря образованию шести следующих ВС между атомами ActIII и poly^rC: N18H₂...O фосфатной группы; N18H₂...NH₂-группа цитозина; N21H...O2' рибозы; N31H...CO-группа цитозина; N24H...O3'; N34H...O3' или O2'рибозы.

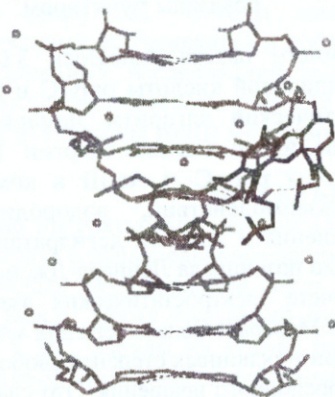


Рис.3. Комплекс 1 ($E_b = -11.2$ ккал/моль)

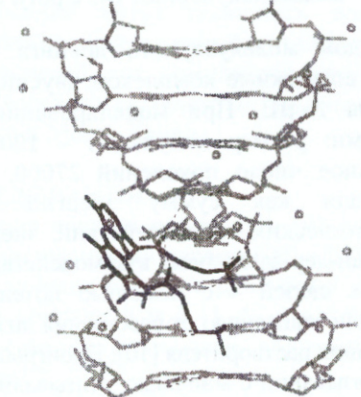


Рис.4. Комплекс 2 ($E_b = -11.0$ ккал/моль)

Компьютерное моделирование комплексообразования производной ...

Комплекс 3 (Рис.5) удовлетворяет критериям 1, 2, 3, 4. В этом комплексе ВС образуют следующие пары атомов ActIII и poly^rC: N18H₂...NH₂-группа цитозина1; N18H₂...NH₂-группа цитозина или C=O17... NH₂-группа цитозина; N21H...CO-группа цитозина; N31H...CO-группа цитозина; N24H...O2' рибозы; N34H...O3' или O2'.

Комплекс 4 (Рис.6) по структуре близок к комплексу 3, но его энергия по абсолютной величине на 1.7 ккал/моль меньше, чем у комплекса 3 (выполнены критерии 1, 3, 4). В образовании ВС участвуют от ActIII и poly^rC: N18H₂...NH₂-группа цитозина1 или N18H₂...CO-группа цитозина1; N18H₂...NH₂-группа цитозина2 или O17...NH₂-группа цитозина2; N21H...CO-группа цитозина; N31H...NH₂-группа цитозина; N24H...O3' или O2'; N34H...O2'.

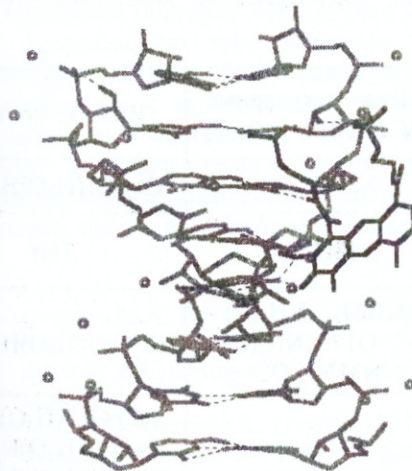


Рис.5. Комплекс 3 ($E_b = -11.4$ ккал/моль)

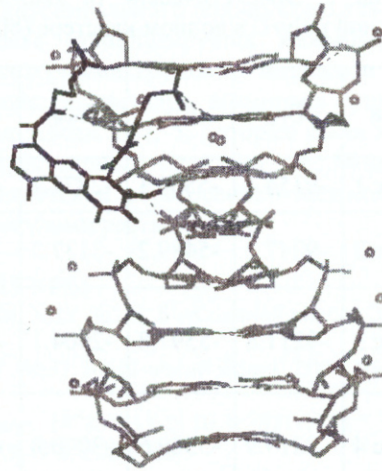


Рис.6. Комплекс 4 ($E_b = -9.72$ ккал/моль)

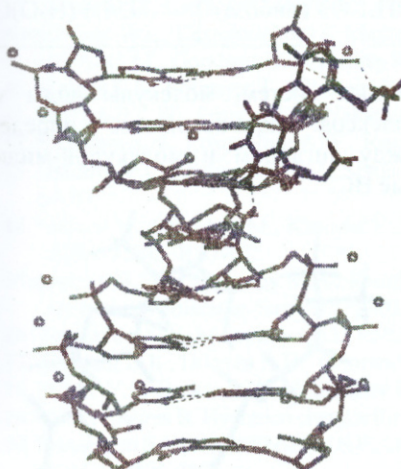


Рис.7. Комплекс 5 ($E_b = -9.26$ ккал/моль)

Комплекс 5 (Рис.7) удовлетворяет критериям 1, 3, 5. По энергии этот комплекс проигрывает около 2 ккал/моль комплексам 1, 2 и 3. Отличительной особенностью этого комплекса является то, что ActIII образует ВС с двумя фосфатными группами poly^rC: N18H₂...OP и N34H...OP. Кроме того, образуются также следующие ВС между группами атомов ActIII и poly^rC: N18H₂...NH₂-группа цитозина; N21H...NH₂-группа цитозина; N31H...O2'; N24H...O4' или O2'.

Известно, что существенную роль в формировании пространственной структуры нуклеиновых кислот играет водное окружение. В частности, при исследовании факторов, определяющих стабильность двойной спирали полупротонированной полиривоцитидиловой кислоты было показано, что наряду со спэкингом оснований и стерическими ограничениями, которые налагает стандартная геометрия нуклеотидов на геометрию сахарофосфатного остова, в стабилизации двойной спирали участвуют водные мостики и цепочки молекул воды, являющиеся как бы элементами структуры спирали. Поэтому можно утверждать, что стабильность двойной спирали poly^rC определяется формированием специфической структуры молекул воды вблизи полинуклеотида [14]. Определенную роль водное окружение может оказывать и на стабильность комплексов нуклеиновых кислот и малых молекул [15,19,20].

С помощью моделирования методом Монте Карло систем, содержащих комплексы ActIII-poly^rC и водные кластеры, мы оценили изменения в структуре комплексов, полученных методом молекулярного докинга, которые вызваны взаимодействием с растворителем - водой.

Результаты моделирования представлены в таблице 1. В ней приведены полные потенциальные энергии систем (E_{Tot}), представляющие собой сумму энергий взаимодействия молекул воды (E_{ww}), энергий взаимодействия молекул воды с poly^rC (E_{Wrc}) и ActIII (E_{WAct}), энергий взаимодействия в комплексе ActIII-poly^rC ($E_{\text{Act-rC}}$).

А.В. Шестопалова, Е.В. Мирошниченко

Как видно из полученных данных, полные энергии систем для всех рассмотренных комплексов отличаются незначительно - не более чем на 1%. По значениям энергий межмолекулярных взаимодействий ActIII и polyrC - E_{Act-C} - наиболее выгодными являются комплексы 1 и 3: $E_{rC-Act} = -517.5$ ккал/моль и $E_{rC-Act} = -476.9$ ккал/моль, соответственно. Анализ мгновенных конфигураций позволяет рассмотреть более детально изменение структуры этих комплексов в водном кластере по сравнению с результатами молекулярного докинга, в котором влияние растворителя учитывается неявно. В комплексе 1 сохранилась только одна межмолекулярная ВС, а в комплексе 3 возможно образование трех межмолекулярных ВС.

Таблица 1. Энергетические (в ккал/моль) и структурные характеристики комплексов ActIII и двусpirальной polyrC в водном кластере (800 молекул воды).

Система	E_{Tot}	E_{ww}	E_{WrC}	E_{WAct}	E_{Act-C}	Межмолекулярные ВС (ActIII - polyrC)	Водные мостики
Комплекс 1	-9154.4	-5550.1	-2877.1	-210.7	-516.5	N21H...O2'	C=O21(H ₂ O)H ₂ N(C)
Комплекс 2	-9247.2	-5489.2	-3137.3	-252.5	-368.2	N18H...O2'	Нет
Комплекс 3	-9211.8	-5597.8	-2904.1	-229.3	-479.9	N18H ₂ ...NH ₂ (C) C=O17...NH ₂ (C) N31H...O2'	C=O17(H ₂ O)H ₂ N(C)
Комплекс 4	-9219.9	-5509.6	-3000.8	-228.9	-439.2	Нет	C=O17(H ₂ O)O2' C=O17(H ₂ O)H ₂ N(C) N31H (H ₂ O)C=O (C)
Комплекс 5	-9258.2	-5514.1	-3051.2	-226.9	-465.9	N24H...O3'(рибоза)	N34H (H ₂ O)OP

Как показывает анализ мгновенных конфигураций изученных систем, молекулы воды могут стабилизировать структуры четырех из пяти рассмотренных комплексов. Так, в комплексе 4 определены три молекулы воды, занимающие мостиковое положение между лигандом и молекулой-мишенью (таблица 1). Но в этом комплексе разорвались все межмолекулярные ВС.

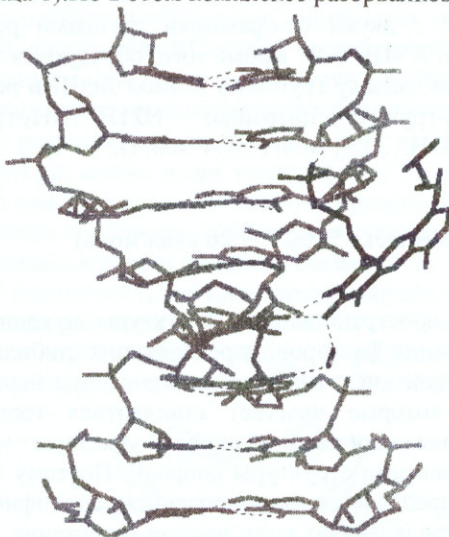


Рис.8. Структура комплекса 3 после моделирования в водном кластере методом Монте Карло. ВС показаны пунктиром.

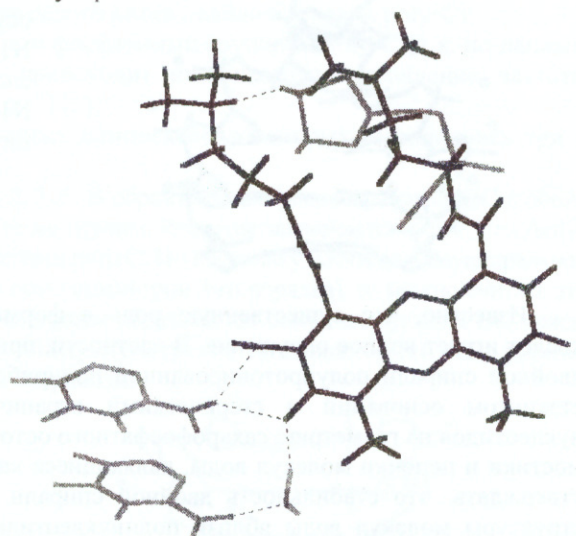


Рис.9. Водородные связи в месте связывания ActIII (комплекс 3) после моделирования в водном кластере методом Монте Карло.

Для комплексов 1, 3 и 5 также найдены молекулы воды, расположенные между донорно-акцепторными группами ActIII и двойной спирали polyrC и образующие с ними ВС. То есть наряду с межмолекулярными ВС эти комплексы дополнительно стабилизируются водным окружением.

Компьютерное моделирование комплексообразования производной ...

При моделировании структур комплексов в водных кластерах только в комплексе 3 выполняются четыре критерия, предъявляемых к наиболее вероятной молекулярной модели, а именно: участие NH₂-группы феноксазоного хромофора ActIII в образовании ВС с polyc; близкая к минимальной энергия взаимодействия ActIII и polyc; максимальное число ВС в комплексе ActIII и polyc; максимальное число ВС с цитозином в комплексе ActIII и polyc.

Поэтому используя все полученные при моделировании и экспериментальных исследованиях данные, мы можем предложить структуру, соответствующую комплексу 3 (Рис.8, 9), как наиболее вероятную молекулярную модель комплекса ActIII и двусpirальной polyc. Именно в этом комплексе выполняется большинство критериев, которые необходимы для образования стабильного комплекса. В таком комплексе молекула лиганда располагается в желобке двусpirального полинуклеотида и образует с ним комплекс по типу внешнего связывания. Комплекс стабилизируется межмолекулярными водородными связями, образующимися между донорно-акцепторными группами мишени и лиганда, и взаимодействием с молекулами растворителя. Тем не менее, в растворе возможно существование нескольких типов комплексов, близких по структурам к комплексам 1, 3, 5, которые были получены с помощью компьютерного моделирования методами молекулярного докинга и Монте Карло. Устойчивость этих комплексов в водных растворах определяется и образованием межмолекулярных водородных связей, и специфическим взаимодействием с молекулами растворителя.

СПИСОК ЛИТЕРАТУРЫ

1. Семенов М.А., Круглова Е.Б., Дхопельников Е.В. и др. // Вісн. ХДУ №528. Біофізичний вісник. 2001. Вип.2(9). С.33-39.
2. Больбух Т.В., Близнюк Ю.Н., Круглова Е.Б. и др. // Вісн. ХНУ №637. Біофізичний вісник. 2004. Вип.1(14). С.38-42.
3. Prescott B., Gamache R., Livramato J., Thomas G.J. // Biopolymers. 1974. V.13, N 10. P.1821-1845.
4. Yang J.T., Samejima T. // Prog.Nucl.Acid Res.Mol.Biol. 1976. V.9. N 2. P.223-300.
5. Leslie A.G.W., Arnott S. // J.Mol.Bol. 1978. V.119. P.399-414.
6. Langridge R.A., Rich A. // Nature.1963. V.198. N 4882. P.725-728.
7. Cornell W.D., Cieplak P., Bayly C.I. et al. // J. Amer. Chem. Soc. 1995. V.117. P.5179-5192.
8. Jorgensen W.L., Chandrasekhas J., Madura J.D., Impey R.W., Klein M.L. // J. Chem. Phys. 1983. V.79. P.926-935.
9. Morris G.M., Goodsell D.S., Halliday R.S. et al. // J.Comput. Chem. 1998. V.19. P. 1639-1651.
10. Mehler E.L., Solmajer T. // Protein Engineering. 1991. V.4. P.903-910.
11. Stouten P.F.W., Frommel C., Nakamura H. et. al. // Mol. Simulation. 1993. V.10. P.97-120
12. Metropolis N., Rosenbluth A.W., Rosenbluth M.N., Teller A.N., Teller E. // J.Chem.Phys. 1953. V.21. P.1087-1092.
13. Danilov V.I., Zheltovsky N.V., Slyusarchuk O.N., Poltev V.I., Alderfer J.L. // J.Biomol.Struct. Dyn. 1997. V.15. P. 69-80.
14. Maleev V., Semenov M., Kashpur V., Bolbukh T., Shestopalova A., Anishchenko D. // Journal of Mol. Structure. 2002. V.605. P.51-61.
15. Maleev V.Ya., Semenov M.A., Kruglova E.B., Bolbukh T.V., Gasan A.I., Bereznjak E.G., Shestopalova A.V. // Journal of Molecular Structure. 2003. V.645. P.145-158.
16. Teplukhin A.V., Malenkov G.G., Poltev V.I. // J.Biomol.Struct.Dyn. 1998. V.16. N 2. P.289-300.
17. Журкин В.Б., Полтев В.И., Флорентьев В.Л. // Мол.биол. 1980. Т.14. Вып.5. С.1116-1130.
18. Poltev V.I., Grokina T.I., Malenkov G.G. // J.Biomol.Struct.Dyn. 1984. V.2. N 3. P.413-429.
19. Qu X., Chaires B. Hydration changes for DNA intercalation reactions. // J.Amer.Chem.Soc. 2001. V.123. P.1-7.
20. Breusegem S.Y., Sadat-Ebrahimi S.E., Douglas K.T., Bichenkova E.V., Clegg R.M., Loontiens F.G. // J.Med.Chem. 2001. V.44. P. 2503-2506.